

## 论著·基础研究

# 腺病毒介导的 siRNA 沉默 *PNUTS* 基因对喉癌 Hep-2 细胞增殖、侵袭的影响

刘 霞, 余 维, 余 丹, 陈 娟, 骆小华, 李 兵

重庆医科大学附属第一医院耳鼻喉头颈外科, 重庆 400016

**[摘要]** 目的· 探讨腺病毒介导小 RNA 干扰 (small interfering RNA, siRNA) 下调蛋白磷酸酶 1 核目标亚基 (phosphatase nuclear targeting subunit, *PNUTS*) 的表达对喉癌细胞 Hep-2 增殖、侵袭、迁移和上皮细胞间质化 (epithelial-mesenchymal transition, EMT) 的影响及机制。方法· 用携带表达 *PNUTS* siRNA 序列的重组腺病毒感染喉癌 Hep-2 细胞。实验分为空白对照 (PBS) 组、腺病毒空载 (Ad-GFP) 组和实验 (Ad-si*PNUTS*) 组。实时荧光定量 PCR 及 Western blotting 检测细胞中 *PNUTS* 的表达。MTT 法检测细胞增殖情况。Transwell 法检测细胞侵袭、迁移能力。Western blotting 检测细胞中总 Rb、磷酸化 Rb (p-Rb)、PI3K、磷酸化 AKT (p-AKT)、E2F1、E-cadherin、N-cadherin 和 ZEB1 蛋白的表达。**结果**· 与 Ad-GFP 组比较, Ad-si*PNUTS* 组 Hep-2 细胞中 *PNUTS* mRNA 和蛋白 (均  $P=0.000$ ) 表达水平降低; 细胞增殖在第 2 日 ( $P=0.004$ )、第 3 日 ( $P=0.001$ )、第 4 日 ( $P=0.000$ ) 受到抑制; 细胞侵袭及迁移 (均  $P=0.000$ ) 能力降低; 总 Rb ( $P=0.000$ )、p-Rb ( $P=0.000$ )、PI3K ( $P=0.023$ )、p-AKT ( $P=0.000$ )、E2F1 ( $P=0.000$ )、N-cadherin ( $P=0.005$ )、ZEB1 ( $P=0.000$ ) 蛋白表达水平降低, E-cadherin ( $P=0.003$ ) 蛋白表达水平增加。**结论**· Ad-si*PNUTS* 抑制喉癌细胞 Hep-2 的增殖、侵袭及转移能力, 并逆转 EMT, 其可能与 PI3K/AKT 信号通路、Rb 信号通路有关。

**[关键词]** 喉癌; 磷酸酶 1 核目标亚基; 磷酸化 Rb; 侵袭; 上皮细胞间质化

**[DOI]** 10.3969/j.issn.1674-8115.2018.02.009 **[中图分类号]** R739.65 **[文献标志码]** A

## Effects of adenoviral-mediated siRNA targeting *PNUTS* on proliferation and invasion of laryngeal squamous cell carcinomas Hep-2 cells

LIU Xia, YU Wei, YU Dan, CHEN Juan, LUO Xiao-hua, LI Bing

Department of Otolaryngology, the First Affiliated Hospital of Chongqing Medical University, Chongqing 400016, China

**[Abstract]** Objective· To explore the effects of adenovirus vector-mediated small interfering RNA (siRNA) targeting phosphatase nuclear targeting subunit (*PNUTS*) on proliferation, invasion, migration and epithelial-mesenchymal transition (EMT) of laryngeal squamous cell carcinomas Hep-2 cells and its mechanism. Methods· Recombinant adenovirus vector expressing *PNUTS* siRNA was infected into laryngeal squamous cell carcinomas Hep-2 cells and the experiment was designed into PBS group, Ad-GFP group and Ad-si*PNUTS* group. Levels of *PNUTS* mRNA and protein were detected by real-time PCR and Western blotting respectively. MTT assay was used to detect proliferation abilities of Hep-2 cells. Transwell assays were used to detect invasion and migration abilities of Hep-2 cells. The expression levels of total Rb, phosphorylated Rb (p-Rb), PI3K, phosphorylated AKT (p-AKT), E2F1, E-cadherin, N-cadherin and ZEB1 protein were detected by Western blotting. Results· Compared with Ad-GFP group, in Ad-si*PNUTS* group, the *PNUTS* mRNA and protein (both  $P=0.000$ ) levels were dramatically decreased. The proliferation of Ad-si*PNUTS* infected Hep-2 cells were inhibited on the second day ( $P=0.004$ ), the third day ( $P=0.001$ ) and the fourth day ( $P=0.000$ ). Meanwhile, the invasion and migration abilities of Ad-si*PNUTS* infected Hep-2 cells were decreased (both  $P=0.000$ ). The expression levels of total Rb ( $P=0.000$ ), p-Rb ( $P=0.000$ ), PI3K ( $P=0.023$ ), p-AKT ( $P=0.000$ ), E2F1 ( $P=0.000$ ), N-cadherin ( $P=0.005$ ) and ZEB1 ( $P=0.000$ ) were decreased while the E-cadherin ( $P=0.003$ ) was increased. Conclusion· Ad-si*PNUTS* could inhibit the proliferation, invasion and migration abilities of Hep-2 cells and reverse the development of EMT, which may be related to PI3K/AKT signaling pathway and Rb signaling pathway.

**[Key words]** laryngeal squamous cell carcinomas; phosphatase nuclear targeting subunit; phosphorylated Rb; invasion; epithelial-mesenchymal transition

侵袭和转移是恶性肿瘤致死的主要原因, 而上皮细胞间质化 (epithelial-mesenchymal transition, EMT) 被认为是肿瘤细胞侵袭、转移的触发机制<sup>[1-2]</sup>。EMT 是上皮细胞通过特定程序转化为具有间质表型细胞的生物学过程, 其典型

特征为上皮细胞的标志物 E-cadherin 表达降低, 间质细胞的标志物 N-cadherin 表达增加。发生 EMT 的上皮细胞失去了细胞极性, 在肿瘤细胞的侵袭和转移中起重要作用<sup>[3-4]</sup>。因此, 对喉癌 EMT 发生机制的研究, 有助于揭示喉癌侵袭、

[基金项目] 重庆市自然科学基金 (cstc2013jcyj A10059) (Chongqing Natural Science Foundation, cstc2013jcyj A10059)。

[作者简介] 刘 霞 (1992—), 女, 硕士生; 电子信箱: 18161133423@163.com。

[通信作者] 李 兵, 电子信箱: dclibing@sina.com。



转移的调控机制，并为寻找喉癌治疗靶点提供理论基础。

磷酸酶1核目标亚基(phosphatase nuclear targeting subunit, PNUTS)是在细胞核内广泛表达的蛋白质。因其可以通过调节蛋白磷酸酶1(protein phosphatase 1, PP1)的活性进而参与细胞基因表达、糖原分解等生理过程，故有关PNUTS的研究已成为生命科学领域研究的热点。Kavela等<sup>[5]</sup>研究发现PNUTS可通过调控PTEN/P13K/Akt信号通路在肿瘤细胞增殖及凋亡中发挥重要作用。鉴于PNUTS基因可调控与肿瘤增殖、凋亡、侵袭及转移相关的PTEN/P13K/Akt通路<sup>[6-7]</sup>，而目前关于PNUTS基因在肿瘤侵袭及转移中作用的研究较少，故本实验初步探讨沉默PNUTS基因对喉癌Hep-2细胞侵袭、转移能力的影响。

## 1 材料与方法

### 1.1 材料和主要试剂

人喉鳞状细胞癌细胞株Hep-2购自中国科学院典型培养物保藏委员会细胞库；RPMI-1640培养基、胎牛血清(FBS)、MTT购自Gibco公司；Matrigel购自Solarbio公司；Transwell小室购自BD公司；携带PNUTS siRNA的重组腺病毒(Ad-siPNUTS)由上海吉凯基因化学技术有限公司构建；RNA提取试剂盒，各基因上、下游引物购自重庆盘点生物科技有限公司；SuperRT One Step实时荧光定量PCR试剂盒购自重庆葆光生物技术有限公司；HRP标记的山羊抗兔IgG抗体(ab150077, 1:5 000稀释)购自Abcam公司；磷酸化Rb(p-Rb)抗体(9301T, 1:800稀释)购自Cell Signaling Technology公司；PNUTS抗体(sc-271681, 1:100稀释)、总Rb抗体(sc-102, 1:100稀释)、PI3K抗体(sc-1637, 1:100稀释)、磷酸化AKT(p-Akt)抗体(sc-5298, 1:80稀释)、E-cadherin抗体(sc-8426, 1:100稀释)、N-cadherin抗体(sc-8424, 1:100稀释)、ZEB1抗体(sc-515797, 1:100稀释)、E2F1抗体(sc-251, 1:100稀释)购自Santa Cruze公司；GAPDH抗体(60004-1-Ig, 1:5 000稀释)、HRP标记的山羊抗小鼠IgG抗体(10285-1-AP, 1:5 000稀释)购自武汉三鹰生物技术有限公司。

### 1.2 细胞培养

Hep-2细胞用含10% FBS的RPMI-1640培养基，置于37℃、5%CO<sub>2</sub>培养箱中常规培养。待细胞融合至80%左右时，弃培养基，PBS洗2次，胰酶消化细胞，按1:3传代培养。

### 1.3 腺病毒的构建、感染及鉴定

#### 1.3.1 构建腺病毒载体 设计靶向人PNUTS mRNA的特

异性siRNA序列(5'-GCAGACCCGUUCACCAGAA-3')，合成相应的双链DNA，构建于腺病毒穿梭质粒pAdTrack-CMV中，然后与腺病毒骨架质粒pAdEasy-1在BJ5183细菌中进行同源重组。酶切鉴定结果证实重组腺病毒Ad-siPNUTS构建成功，并进一步在293细胞中包装、扩增。纯化重组腺病毒，获得高滴度( $3 \times 10^9$ PFU/mL)的重组腺病毒Ad-siPNUTS。用同样方法构建阴性对照腺病毒(Ad-GFP)，其中插入与任何编码序列无同源性的无关序列5'-UUCUCCGAACGUGUCACGUU-3'。

**1.3.2 重组腺病毒感染效率的检测** 利用穿梭质粒中所携带的GFP报告基因，进行腺病毒感染效率的检测。取生长状态良好的对数期Hep-2细胞，按每孔5 000个细胞(100 μL)接种于96孔板中，共3个复孔，置于37℃、5%CO<sub>2</sub>培养箱中培养。24 h后根据预实验结果，用感染复数(multiplicity of infection, MOI)为100的腺病毒感染Hep-2细胞，12 h后观察细胞形态无明显改变，未予换液。24 h后在荧光显微镜下观察GFP阳性细胞数，计算感染效率。

**1.3.3 重组腺病毒感染Hep-2细胞** 实验设置为3组：空白对照(PBS)组、腺病毒空载(Ad-GFP)组、实验(Ad-siPNUTS)组。取生长状态良好的对数期细胞，消化后重悬，以 $2 \times 10^5$ 个细胞(2 mL)接种于6孔板，置于37℃、5%CO<sub>2</sub>培养箱中培养。24 h后弃培养基，PBS洗2次，分别加入PBS、转入MOI为100的Ad-GFP或Ad-siPNUTS。继续培养48 h后用于后续实验。

**1.3.4 Ad-siPNUTS感染Hep-2细胞的鉴定** 用实时荧光定量PCR检测PNUTS在mRNA水平的表达。提取感染48 h后各组细胞总RNA，测总RNA浓度。按照SuperRT One Step实时荧光定量PCR试剂盒说明书操作，反转录及扩增在同一个反应体系中进行。反应体系含12.5 μL2×SuperRT One Step Buffer，上游引物、下游引物各1 μL，0.5 μL SuperRT One Step Enzyme Mix，1 μg RNA，最终加无酶水补足至25 μL。反应条件：45℃反转录30 min；95℃预变性2 min；94℃变性30 s，55℃退火30 s，72℃延伸30 s，循环35次；72℃终延伸5 min。PNUTS基因上游引物5'-CCCATAGACCCCAAAGAACTTC-3'，下游引物5'-ATCGACTCACCATTTCTGTG-3'；GAPDH基因上游引物5'-CGGATTGGTGTATTGGGC-3'，下游引物5'-AGCAGTCGCCCACTTGATTT-3'。目的基因mRNA的相对表达水平采用 $2^{-\Delta\Delta C_t}$ 公式计算。实验重复3次。

用Western blotting检测PNUTS在蛋白水平的表达。用细胞裂解液RIPA提取感染48 h后的Hep-2细胞总蛋白，BCA法测蛋白浓度。总蛋白按照每孔40 μg上样，10%SDS-PAGE电泳后将蛋白转印到PVDF膜，用含5%



脱脂牛奶的 TBST 室温封闭 4 h，分别加入 PNUTS 抗体、GAPDH 抗体，4 ℃孵育过夜。回收一抗，TBST 洗 4 次，每次 5 min，加入二抗 37 ℃孵育 1 h，TBST 洗 4 次，每次 10 min。化学发光法显影，Quantity one 软件进行灰度值分析。实验重复 3 次。

#### 1.4 Ad-siPNUTS 对 Hep-2 细胞增殖的影响

收集感染 24 h 后各组细胞，以每孔  $5 \times 10^3$  个细胞 (100 μL) 接种于 96 孔板，每组 5 个复孔。在感染后 1、2、3、4 d 分别加入 20 μL MTT 溶液 (5 mg/mL)，继续培养 4 h。弃上清后，每孔加入 150 μL 的 DMSO，震荡 10 min，酶标仪检测吸光度值 [ $D$  (490 nm)]。以不含细胞的等体积培养基作调零孔。以时间为横坐标，以  $D$  (490 nm) 为纵坐标，绘制细胞生长曲线。实验重复 3 次。

#### 1.5 Ad-siPNUTS 对 Hep-2 细胞侵袭、迁移的影响

**1.5.1 细胞迁移实验** 取感染 48 h 后各组细胞，消化后以无血清 RPMI-1640 稀释重悬，以每孔  $1 \times 10^5$  个细胞 (200 μL) 接种于 Transwell 上室，同时下室中加入 500 μL 含 10% FBS 的 RPMI-1640 培养基，继续培养 24 h。取出小室，用棉签轻轻擦去上室中未迁移的细胞，PBS 清洗 2 次，4% 多聚甲醛固定 10 min，0.1% 结晶紫染色 15 min，流水缓缓冲去染液，自然晾干后，于光学显微镜下选择上下左右及中间 5 个视野进行细胞计数，计算平均数。

**1.5.2 细胞侵袭实验** 将 7 mg/mL Matrigel 按 1:1 稀释后以每孔 50 μL 轻轻加入 Transwell 上室，置于 37 ℃孵箱 4 h，使胶凝固。取出小室，上层加入 100 μL 无血清 RPMI-1640，水化 30 min。其他步骤同 1.5.1。

#### 1.6 感染后细胞增殖、侵袭相关蛋白检测

按 1.3.2 方法提取感染 48 h 后各组细胞总蛋白，Western

blotting 检测 PI3K、p-AKT、E-cadherin、N-cadherin、ZEB1、E2F1、p-Rb、总 Rb 蛋白的表达。

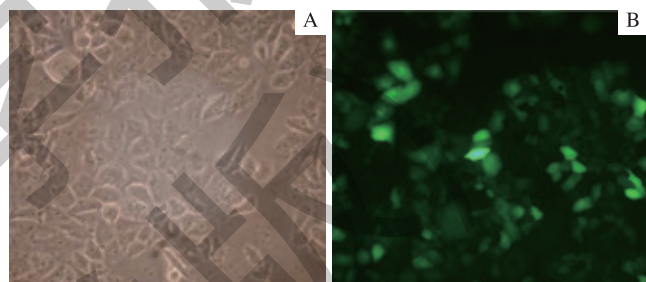
#### 1.7 统计学分析

采用 SPSS 21.0 统计软件分析，实验数据用  $\bar{x} \pm s$  表示，组间比较采取独立样本  $t$  检验。 $P < 0.05$  为差异具有统计学意义。

## 2 结果

#### 2.1 重组腺病毒感染效率的检测

用 MOI 为 100 的腺病毒感染 Hep-2 细胞，24 h 后约 80% 的细胞出现荧光（图 1）。结果表明构建的腺病毒对 Hep-2 细胞具有较高的感染效率。



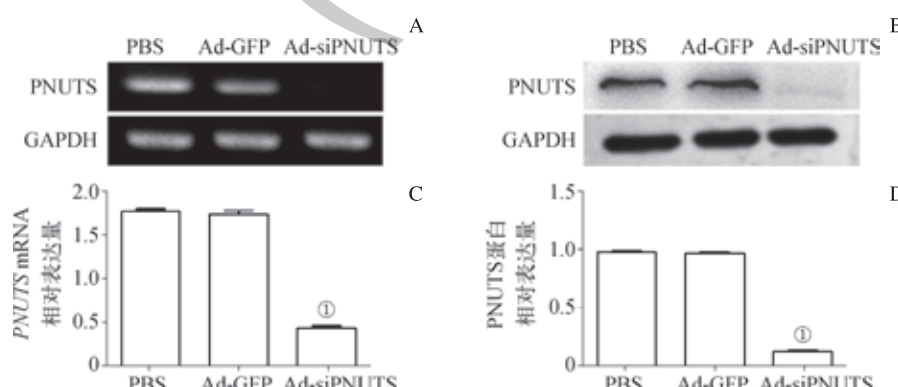
注：用 MOI 值为 100 的 Ad-GFP 感染 Hep-2 细胞后，在普通显微镜（A）及荧光显微镜（B）下的细胞形态。

图 1 重组腺病毒感染 Hep-2 细胞效率的检测

Fig 1 Detection of the efficiency of Hep-2 cells infected by recombinant adenovirus

#### 2.2 感染后 Hep-2 细胞内 PNUTS 的表达

实时荧光定量 PCR 结果（图 2A）及 Western blotting 结果（图 2B）显示：与 Ad-GFP 组比较，Ad-siPNUTS 组 PNUTS mRNA 及蛋白（均  $P=0.000$ ）表达水平降低，差异有统计学意义；与 Ad-GFP 组比较，PBS 组 PNUTS mRNA ( $P=0.339$ ) 及蛋白 ( $P=0.297$ ) 表达水平差异无统计学意义。



注：实时荧光定量 PCR（A）及 Western blotting（B）检测结果；实时荧光定量 PCR（C）及 Western blotting（D）半定量分析结果；<sup>①</sup>  $P=0.000$ ，与 Ad-GFP 组比较。

图 2 Ad-siPNUTS 感染后 Hep-2 细胞中 PNUTS mRNA 和蛋白的表达

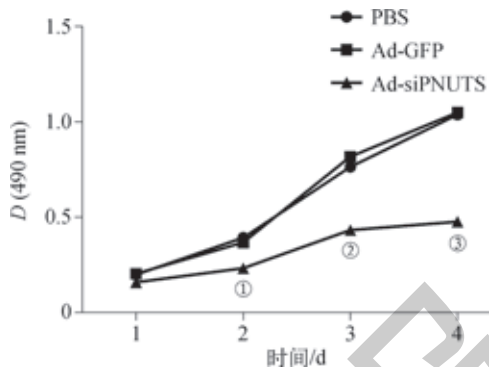
Fig 2 Expressions of PNUTS mRNA and protein in Hep-2 cells after Ad-siPNUTS transfection



### 2.3 Ad-siPNUTS 对 Hep-2 细胞增殖的影响

Hep-2 细胞生长曲线(图3)显示:与 Ad-GFP 组比较, Ad-siPNUTS 组中 Hep-2 细胞生长速度在第 2 日 ( $P=0.004$ )、

第 3 日 ( $P=0.001$ )、第 4 日 ( $P=0.000$ ) 明显减慢, 差异具有统计学意义; Ad-GFP 组与 PBS 组比较差异无统计学意义。



注: <sup>①</sup> $P=0.004$ , <sup>②</sup> $P=0.001$ , <sup>③</sup> $P=0.000$ , 与 Ad-GFP 组比较。

图3 Ad-siPNUTS 对 Hep-2 细胞增殖的影响

Fig 3 Effect of Ad-siPNUTS on proliferation of Hep-2 cells

### 2.4 Ad-siPNUTS 对 Hep-2 细胞侵袭能力的影响

Transwell 侵袭实验结果(图4)显示:PBS 组、Ad-GFP 组及 Ad-siPNUTS 组的穿膜细胞数分别为  $(325.67 \pm 4.16)$ 、

$(322.33 \pm 3.21)$ 、 $(88.01 \pm 6.25)$  个;与 PBS 组、Ad-GFP 组比较, Ad-siPNUTS 组的穿膜细胞数明显下降, 差异有统计学意义(均  $P=0.000$ ); Ad-GFP 组与 PBS 组差异无统计学意义( $P=0.420$ )。

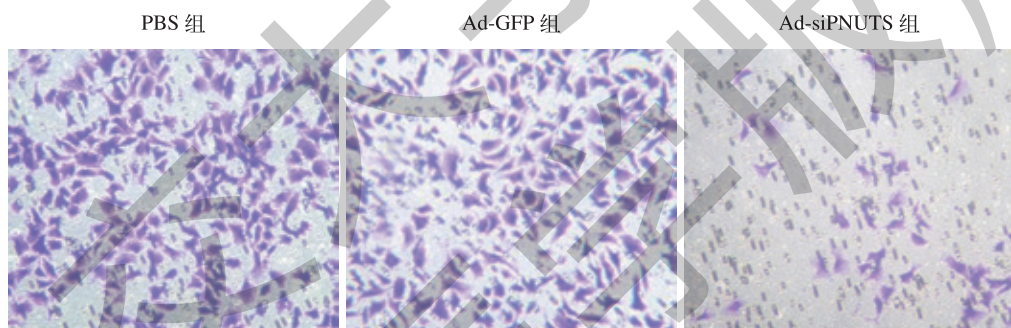


图4 Ad-siPNUTS 对 Hep-2 细胞侵袭能力的影响(结晶紫染色  $\times 200$ )

Fig 4 Effect of Ad-siPNUTS on invasion of Hep-2 cells (crystal violet staining  $\times 200$ )

### 2.5 Ad-siPNUTS 对 Hep-2 细胞迁移能力的影响

Transwell 迁移实验结果(图5)显示:PBS 组、Ad-GFP 组及 Ad-siPNUTS 组的穿膜细胞数分别为  $(343.00 \pm 4.01)$ 、

$(339.00 \pm 7.55)$ 、 $(125.33 \pm 2.08)$  个;与 Ad-GFP 组比较, Ad-siPNUTS 组的穿膜细胞数明显下降, 差异有统计学意义(均  $P=0.000$ ); Ad-GFP 组与 PBS 组差异无统计学意义( $P=0.372$ )。

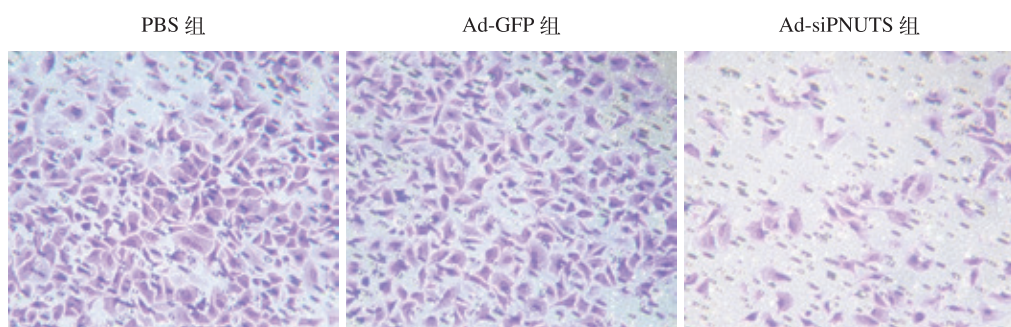


图5 Ad-siPNUTS 对 Hep-2 细胞迁移能力的影响(结晶紫染色  $\times 200$ )

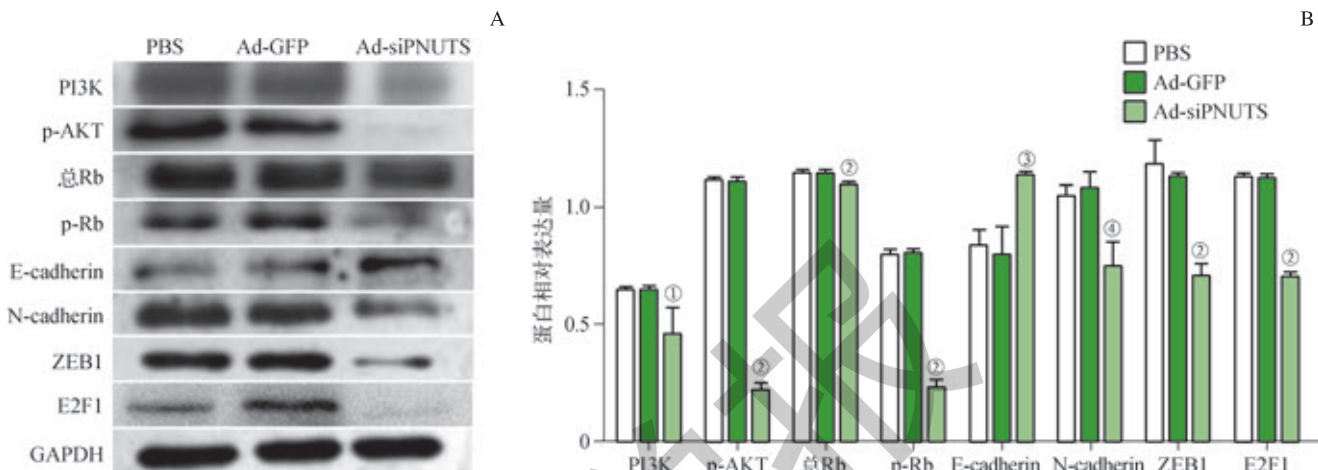
Fig 5 Effect of Ad-siPNUTS on migration of Hep-2 cells (crystal violet staining  $\times 200$ )



## 2.6 感染后细胞增殖、侵袭相关蛋白的表达

Western blotting 结果(图 6)显示:与 Ad-GFP 组比较,Ad-siPNUTS 组 E-cadherin ( $P=0.003$ ) 表达水平升高, 总 Rb ( $P=0.000$ )、p-Rb ( $P=0.000$ )、PI3K ( $P=0.023$ )、p-AKT

( $P=0.000$ )、N-cadherin ( $P=0.005$ )、ZEB1 ( $P=0.000$ )、E2F1 ( $P=0.000$ ) 表达水平降低, 差异具有统计学意义; PBS 组与 Ad-GFP 组差异无统计学意义。



注: A. Western blotting 检测结果; B. Western blotting 半定量分析结果; <sup>①</sup> $P=0.023$ , <sup>②</sup> $P=0.000$ , <sup>③</sup> $P=0.003$ , <sup>④</sup> $P=0.005$ , 与 Ad-GFP 组比较。

图 6 Ad-siPNUTS 感染后 Hep-2 细胞中增殖、侵袭相关蛋白的表达

Fig 6 Expressions of proliferation- and invasion-related proteins in Hep-2 cells after Ad-siPNUTS transfection

## 3 讨论

PP1 是丝氨酸 / 苏氨酸磷酸酶家族中的一员, 是细胞内主要的蛋白磷酸酶, 通过调节蛋白激酶的活性在许多细胞进程中发挥重要作用<sup>[8-9]</sup>。PNUTS 可与 PP1 稳定结合并调节其催化活性, 在细胞有丝分裂的不同时期与染色质共定位, 通过调控多种靶分子参与细胞的增殖与凋亡过程<sup>[10]</sup>。目前, 该基因在喉癌细胞增殖、侵袭中的作用及相关分子机制尚不清楚。为此我们构建了沉默 PNUTS 基因的重组腺病毒 Ad-siPNUTS, 并感染喉癌 Hep-2 细胞, 感染 48 h 后分别从基因和蛋白水平检测了 PNUTS 的表达情况。结果表明, 在感染 Ad-siPNUTS 后, PNUTS mRNA 及蛋白表达明显降低。这表明 Ad-siPNUTS 可作为研究 PNUTS 基因在喉癌发生、发展中作用的有效工具。

增殖和侵袭是恶性肿瘤的基本特征, 也是其复发和致死的主要原因。本研究利用 MTT 法、Transwell 法检测了感染 Ad-siPNUTS 后 Hep-2 细胞增殖、侵袭能力的改变。结果表明, 感染了 Ad-siPNUTS 的细胞与未感染组比较, 增殖、侵袭能力明显下降。这说明 PNUTS 基因在喉癌的增殖及侵袭转移中具有重要作用。

EMT 被认为是肿瘤恶变的关键事件, 参与肿瘤细胞的侵袭和远处转移<sup>[1-2]</sup>, 其重要的分子生物学基础为钙黏蛋白 (cadherin)。E-cadherin 可维持细胞间的稳定连接, 其

表达降低可导致细胞间连接破坏, 并诱导上皮细胞向间质细胞表型转化; N-cadherin 具有促进肿瘤细胞运动和转移的作用, 在 EMT 发生时表达增加<sup>[11]</sup>。本研究发现, 在感染 Ad-siPNUTS 后, Hep-2 细胞中 E-cadherin 表达增加, N-cadherin 表达降低, 这说明 PNUTS 基因与 EMT 的发生、发展密切相关。

为探讨 PNUTS 参与喉癌细胞增殖、侵袭及 EMT 的相关分子机制, 本研究检测了感染 Ad-siPNUTS 后总 Rb、p-Rb、E2F1、ZEB1、PI3K、p-AKT 蛋白表达水平的变化, 结果表明感染 Ad-siPNUTS 后, 总 Rb、p-Rb、E2F1、ZEB1、PI3K、p-AKT 的表达水平明显下降。Rb 基因具有磷酸化和非磷酸化 2 种形式, 在肿瘤细胞中因 cyclin/CDK 过表达而呈现为高度磷酸化的失活形式<sup>[12-14]</sup>。研究<sup>[15-16]</sup>发现, 非磷酸化 Rb 可与 E2F1 结合, 并限制其功能; 而磷酸化的 Rb 可释放 E2F1, 使其结合到基因组上, 发挥转录调控功能并激活下游基因, 进而使细胞周期从 G1 期转换到 S 期, 促进细胞增殖。Sánchez-Tilló 等<sup>[17]</sup>研究发现, ZEB1 可与 E-cadherin 基因启动子结合, 抑制 E-cadherin 基因的转录, 从而促进 EMT 的发生。Egger 等<sup>[18]</sup>研究发现, 非磷酸化 Rb 可与 ZEB1 形成复合体, 抑制其对 E-cadherin 的转录抑制作用, 而磷酸化 Rb 可促进 Rb/ZEB1 复合体的分离。Arima 等<sup>[19]</sup>研究也发现 Rb 的失活可导致 E-cadherin 的表达降低及 EMT 的发生。由此推测, 通过沉默 PNUTS 的表达可影响 Rb 的磷酸化, 从而经由

Rb/E2F1 途径抑制细胞的增殖, 经由 Rb/ZEB1 途径抑制细胞 EMT 的发生。此外, 本研究还发现通过沉默 *PNUTS* 的表达, PI3K/AKT 途径受到抑制; 而该途径在肿瘤细胞增殖<sup>[5]</sup>, 侵袭<sup>[6-7]</sup>, EMT<sup>[20]</sup> 发生、发展中的作用也已被研究证实, 这说明 Ad-si*PNUTS* 可通过 PI3K/AKT 途径抑制细胞的增殖和侵袭。

综上所述, *PNUTS* 可通过 PI3K/AKT、Rb/E2F1、Rb/ZEB1 信号通路参与调节喉癌的增殖、侵袭、转移及 EMT 的发生、发展。但 *PNUTS* 如何改变总 Rb 的表达及 Rb 磷酸化状态, 目前尚不明确, 其可能与 cyclin/CDK 途径有关。此外, 对 *PNUTS* 基因的进一步研究, 可能为临床监测喉癌进展和预后评估提供实验依据。

### 参·考·文·献

- [1] Thiery JP. Epithelial-mesenchymal transitions in tumour progression[J]. Nat Rev Cancer, 2002, 2(6): 442-454.
- [2] Lamouille S, Subramanyam D, Blelloch R, et al. Regulation of epithelial-mesenchymal and mesenchymal-epithelial transitions by microRNAs[J]. Curr Opin Cell Biol, 2013, 25(2): 200-207.
- [3] Catalano M, D'Alessandro G, Lepore F, et al. Autophagy induction impairs migration and invasion by reversing EMT in glioblastoma cells[J]. Mol Oncol, 2015, 9(8): 1612-1625.
- [4] Zeng T, Peng L, Chao C, et al. miR-451 inhibits invasion and proliferation of bladder cancer by regulating EMT[J]. Int J Clin Exp Pathol, 2014, 7(11): 7653-7662.
- [5] Kavela S, Shinde SR, Ratheesh R, et al. *PNUTS* functions as a proto-oncogene by sequestering PTEN[J]. Cancer Res, 2013, 73(1): 205-214.
- [6] Niu H, Wu B, Peng Y, et al. RNA interference-mediated knockdown of RhoGDI2 induces the migration and invasion of human lung cancer A549 cells via activating the PI3K/Akt pathway[J]. Tumour Biol, 2015, 36(1): 409-419.
- [7] Tian T, Nan KJ, Guo H, et al. PTEN inhibits the migration and invasion of HepG2 cells by coordinately decreasing MMP expression via the PI3K/Akt pathway[J]. Oncol Rep, 2010, 23(6): 1593-1600.
- [8] Berndt N. Roles and regulation of serine/threonine-specific protein phosphatases in the cell cycle[J]. Prog Cell Cycle Res, 2003, 5(51): 497-510.
- [9] Garcia A, Cayla X, Guergnon J, et al. Serine/threonine protein phosphatases PP1 and PP2A are key players in apoptosis[J]. Biochimie, 2003, 85(8): 721-726.
- [10] Lim YM, Watanabe T, Allen PB, et al. PNUTS, a protein phosphatase 1 (PP1) nuclear targeting subunit. Characterization of its PP1-and RNA-binding domains and regulation by phosphorylation[J]. J Biol Chem, 2003, 278(16): 13819-13828.
- [11] Brix G, Becker K, Höfler H, et al. Mutations of the human E-cadherin (*CDH1*) gene[J]. Hum Mutat, 1998, 12(4): 226-237.
- [12] Narasimha AM, Kaulich M, Shapiro GS, et al. Cyclin D activates the Rb tumor suppressor by mono-phosphorylation[J]. eLife, 2014, 3(3): e02872.
- [13] Sherr CJ, McCormick. The RB and p53 pathways in cancer[J]. Cancer Cell, 2002, 2(2): 103-112.
- [14] Mittnacht S. The retinoblastoma protein—from bench to bedside[J]. Eur J Cell Biol, 2005, 84(2/3): 97-107.
- [15] Henley SA, Dick FA. The retinoblastoma family of proteins and their regulatory functions in the mammalian cell division cycle[J]. Cell Div, 2012, 7(1): 10.
- [16] Madan E, Gogna R, Kuppusamy P. TIGAR induces p53-mediated cell-cycle arrest by regulation of RB-E2F1 complex[J]. Br J Cancer, 2012, 107(3): 516-526.
- [17] Sánchez-Tilló E, Siles L, de Barrios O, et al. Expanding roles of ZEB factors in tumorigenesis and tumor progression[J]. Am J Cancer Res, 2011, 1(7): 897-912.
- [18] Egger JV, Lane MV, Antonucci LA, et al. Dephosphorylation of the retinoblastoma protein (Rb) inhibits cancer cell EMT via Zeb1[J]. Cancer Biol Ther, 2016, 17(11): 1197-1205.
- [19] Arima Y, Inoue Y, Shibata T, et al. Rb depletion results in deregulation of E-cadherin and induction of cellular phenotypic changes that are characteristic of the epithelial-to-mesenchymal transition[J]. Cancer Res, 2008, 68(13): 5104-5112.
- [20] Ha GH, Park JS, Breuer EK. TACC3 promotes epithelial-mesenchymal transition (EMT) through the activation of PI3K/Akt and ERK signaling pathways[J]. Cancer Lett, 2013, 332(1): 63-73.

〔收稿日期〕 2017-09-19

〔本文编辑〕 崔黎明

